

مقایسه گسترش مکانی اقلیم‌های خشک و نیمه‌خشک در ایران طی دوره ۱۹۷۶-۲۰۰۵

نقی طاووسی^۱، پیمان محمودی^{۲*} و فرزانه سرگلزائی مقدم^۳

۱- استادیار، گروه جغرافیا طبیعی، دانشکده جغرافیا و برنامه‌ریزی محیطی، دانشگاه سیستان و بلوچستان،

۲- نویسنده مسئول، دانشجوی دکترای اقلیم‌شناسی، دانشکده جغرافیا و برنامه‌ریزی محیطی، دانشگاه سیستان و بلوچستان،

پست الکترونیک: Paymanasia@yahoo.com

۳- کارشناس هواشناسی، مرکز تحقیقات هواشناسی کاربردی استان سیستان و بلوچستان

تاریخ دریافت: ۸۸/۰۷/۱۲ تاریخ پذیرش: ۸۸/۱۱/۱۲

چکیده

براساس تعریف کنوانسیون سازمان ملل متحد برای مهار بیابان‌زایی «بیابان‌زایی به معنی تخریب سرزمین در مناطق خشک، نیمه‌خشک و خشک نیمه‌مرطوب به علت تغییرات آب و هوایی و فعالیت‌های انسانی است. همچنین براساس این کنوانسیون مناطق خشک، نیمه‌خشک و خشک نیمه‌مرطوب مناطقی هستند که در آن نسبت بارندگی به تبخیر و تعرق بالقوه در محدوده ۰/۰۵ تا ۰/۱۵ قرار گیرد. داده‌های مربوط به دو عامل میانگین دمای سالانه و جمع بارش سالانه ۴۵ ایستگاه هواشناسی سینوپتیک برای یک دوره ۳۰ ساله (۱۹۷۶-۲۰۰۵) از سازمان هواشناسی کشور اخذ گردید. در این تحقیق برای مطالعه و بررسی گسترش مکانی اقلیم‌های خشک و نیمه‌خشک ایران به عنوان اولین حلقه تأثیرگذار در گسترش و تشدید بیابان‌زایی از شاخص زیست اقلیم یونیپ (UNEP) بهره گرفته شد. به طوری که دوره ۳۰ ساله مورد مطالعه، به سه زیر دوره ۱۰ ساله تقسیم گردید. سپس برای هر زیر دوره با استفاده از شاخص مورد نظر، نقشه‌های پهن‌بندی اقلیم‌ها تهیه گردید و در نهایت با منهاکردن نقشه‌ها از یکدیگر، تغییرات رخ داده در گسترش مکانی اقلیم‌های خشک و نیمه‌خشک ایران مورد بررسی و مطالعه قرار گرفت. براساس نقشه‌های تهیه شده برای سه زیر دوره مورد مطالعه مشاهده شد که بیشترین گسترش مکانی اقلیم‌های خشک و نیمه‌خشک در ده سوم روی داده است. بهنحوی که از لحاظ مکانی نیز شدیدترین تغییرات ابتدا در غرب و شمال‌غرب ایران و بعد در جنوب‌شرق ایران مشاهده شد. به طوری که در غرب و شمال‌غرب ایران جایگزین شدن اقلیم نیمه‌خشک به جای اقلیم خشک نیمه‌مرطوب و نیمه‌مرطوب به وضوح قابل مشاهده است. در جنوب‌شرق ایران هم شاهد گسترش اقلیم فراخشک در جهت مداری و نصف النهاری بوده‌ایم. براساس نتایج مطالعات محققان مشاهده گردید که گسترش اقلیم فراخشک به دلیل خشکسالی‌های رخ داده در ده سوم و گسترش اقلیم نیمه‌خشک در غرب و شمال‌غرب ایران علاوه بر خشکسالی فraigیر، تغییرات اقلیمی روی داده در برخی عاملهای اقلیمی بوده است.

واژه‌های کلیدی: بیابان‌زایی، اقلیم خشک، اقلیم نیمه‌خشک، گسترش مکانی، شاخص UNEP.

مقدمه

بررسی ترسالی‌ها و خشکسالی‌ها و ... از موضوعاتی می‌باشد که بعضی محققان ایرانی در قالب مقالات مختلف به طریقی به بررسی تغییرات اقلیمی ایران پرداخته‌اند. اما هیچ کدام از این تحقیقات تصویر روش و کاملی از تغییرات اقلیمی ایران مخصوصاً تغییرات زمانی و مکانی اقلیم برای ما ایجاد نمی‌کند.

بنابراین یکی از جلوه‌های بارز تغییر اقلیم که نگرانی بسیاری از سیاست‌گذاران و اندیشمندان را در حوزه‌های مختلف علمی با خود به همراه داشته است گسترش و افزایش روزافزون مخاطرات طبیعی است. به‌طوری‌که بیابان‌زایی به‌عنوان یکی از این جلوه‌های تغییر اقلیم در چند دهه اخیر در کنار سایر مخاطرات طبیعی بسیار مورد توجه مجتمع جهانی و دانشگاهی قرار گرفته است. زیرا که «بیابان‌زایی» که از آن به معنی تخریب سرزمین در مناطق خشک، نیمه‌خشک و خشک نیمه‌مرطوب به علت تغییرات آب و هوایی و فعالیت‌های انسانی یاد می‌شود، حدود ۷۳ درصد از مساحت ۲۳ میلیارد هکتاری مراتع زمین را متأثر نموده است (درنینگ و هالی، ۱۹۹۲). براساس تخمین کتوانسیون مهار بیابان‌زایی سازمان ملل متحده، بیش از نیمی از مناطق خشک و نیمه‌خشک جهان (حدود ۳۰ میلیون کیلومتر مربع) با بیش از ۲۰ درصد از سطح کره زمین مورد تهدید بیابان‌زایی قرار دارند که براساس برآورد «هارولد درگنی» سالانه حدود ۱۸۰ هزار کیلومتر مربع از مراتع، ۲۰ هزار کیلومتر مربع از دیمزارها و ۵ هزار کیلومتر مربع از مزارع آبی در معرض گسترش بیابانها هستند (به نقل از گرنجر، ۱۹۸۲).

تاکنون مباحثت بسیار زیادی توسط دانشمندان و محققان مختلف در حوزه‌های گوناگون علمی به خصوص اقلیم‌شناسی، هواشناسی و ... پیرامون مفهوم بیابان‌زایی

هر واحد جغرافیایی چه در مقیاس خرد و چه در مقیاس کلان به‌عنوان یک سامانه زیستی و حیاتی از عناصر و اجزا جاندار و بی‌جانی تشکیل شده که دارای روابط متقابل پیچیده‌ای با یکدیگر می‌باشد. در این میان آب و هوا نه تنها به‌عنوان یک جزء بلکه به‌عنوان یک عامل هویت‌بخش می‌تواند تعیین‌کننده ویژگی‌های عمومی سایر اجزاء مشکل در یک اکوسیستم باشد.

بنابراین سامانه اقلیم به‌عنوان یک «نظام خودتنظیم» و «پویا» شامل مجموعه جو، زمین، آب و سطوح یخ می‌باشد که با یکدیگر و با سایر فرایندهای زمینی و بروان زمینی در ارتباط متقابل قرار دارند و در اثر تغییر در بخشی از سیستم، تغییراتی در سایر بخش‌های اقلیمی به وجود می‌آید (طاوسی، ۱۳۷۹).

تاکنون محققان بسیاری کوشیده‌اند تا در تحلیل‌های خود به تبیین دقیق تغییرات اقلیم ایران در حوضه‌های مختلف پردازنند (علیزاده و کمالی، ۱۳۸۱؛ سلیمان، ۱۳۸۱؛ مساح بوانی، ۱۳۸۵؛ مولائی نیکو، ۱۳۸۲؛ باباپور صابر، ۱۳۸۲؛ عزیزی و روشنی، ۱۳۸۷؛ خورشید دوست و قویدل رحیمی، ۱۳۸۵؛ نظام السادات و همکاران، ۱۳۸۵؛ جعفری، ۱۳۸۷؛ ابراهیمی و همکاران، ۱۳۸۴؛ قربانی و سلطانی، ۱۳۸۱؛ واثقی و اسماعیلی، ۱۳۸۷؛ دلاور و همکاران، ۱۳۸۷). در این تحقیقات با توجه به هدف‌های مورد نظر از عناصر مختلف اقلیمی، طول دوره‌های مختلف و شیوه‌های مختلف استفاده شده است. بگونه‌ای که بعضی محققان به شیوه‌های توصیفی و بعضی دیگر با استفاده از شیوه‌های کمی و از زاویه‌ای خاص به بررسی تغییرات اقلیمی پرداخته‌اند. موضوعاتی مانند رابطه بارش با ارتفاع، بررسی تغییرات دما و بارش در ایستگاه‌ها،

گسترش مکانی آب و هوای خشک و نیمه‌خشک ایران به عنوان اولین زنجیره تأثیرگذار بر بیابان‌زایی بررسی شود.

مواد و روشها

برای بررسی روند گسترش مکانی اقلیم خشک و نیمه‌خشک در ایران، داده‌های مربوط به دو عامل میانگین دمای سالانه و جمع بارش ماهانه ۴۵ ایستگاه هواشناسی سینوپتیک برای یک دوره ۳۰ ساله (۱۹۷۶-۲۰۰۵) از سازمان هواشناسی کشور اخذ گردید. توزیع و پراکنش ایستگاه‌های مورد مطالعه در سطح کشور در شکل ۱ آورده شده است. بازسازی داده‌ها با استفاده از روش همبستگی و مدل رگرسیونی و همگنی داده‌ها نیز با استفاده از روش ران تست^۲ برای کل ایستگاه‌ها مورد آزمون قرار گرفت و همگنی آنها در سطح بالایی مورد پذیرش قرار گرفت.

در این تحقیق برای بررسی گسترش مکانی اقلیم خشک و نیمه‌خشک ایران از شاخص پیشنهادی برنامه محیط‌زیست ملل متحد بهره گرفته شده است. از دلایل انتخاب این شاخص می‌توان به موارد زیر اشاره نمود:

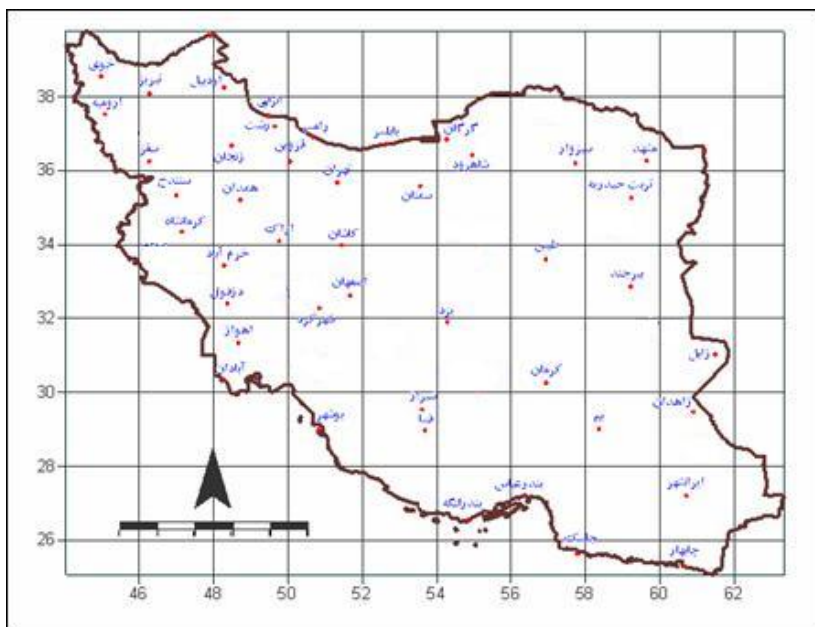
- کاربرد وسیع این شاخص در سطح جهان به خصوص در مطالعات بیابان‌زایی. کنوانسیون سازمان ملل متحد برای بیابان‌زایی، این شاخص را جهت تعکیک مناطق خشک، نیمه‌خشک و خشک نیمه‌مرطوب از یکدیگر مورد استفاده قرار داده است.

- استفاده همزمان از چند عامل اقلیمی همچون بارش و تبخیر و تعرق به طور مستقیم و دما به طور غیرمستقیم برای شناسایی و تفکیک مناطق خشک، نیمه‌خشک و خشک نیمه‌مرطوب از یکدیگر.

به عنوان یک فرایند تخریب‌کننده مناطق خشک، نیمه‌خشک و نیمه‌مرطوب جهان انجام شده است (Iddrisu & Vinogradov, 1992؛ Gunin, 1992؛ Nicholson, 2001؛ Alivi, 1994؛ Atchia, 1995؛ Folland *et al.*, 1991؛ Folland *et al.*, 1986؛ Hulme & Kelly, 1993؛ Giannini *et al.*, 2003؛ Hulme, 2001؛ Glantz, 1987).

با بررسی منابع داخلی و خارجی که به برخی از آنها در بالا اشاره شد مشاهده گردید که اگرچه شناخت تازه‌ای از تغییرپذیری آب و هوا بدست آمده است، اما شناخت علل این تغییرپذیری‌ها هنوز به سرانجام خود نرسیده است. علاوه بر این سهم نسبی تغییرپذیری آب و هوا و فعالیت انسانی بر بیابان‌زایی احتمالاً به بافت‌های ویژه ناحیه‌ای بستگی دارد. به طوری که تعیین مناسبترین تبیین برای هر حالت معین، چالشی است که هنوز باقی‌مانده است.

از آنجایی که کشور ایران در کمرنگ بیابانی نیمکره شمالی واقع شده است و قسمت اعظم آن تحت تسلط سلولهای پروفشار مجاور حاره‌ای قرار دارد، بنابراین بیشتر وسعت آن را مناطق خشک و نیمه‌خشک تشکیل می‌دهد که بارندگی بین ۵۰ تا ۲۵۰ میلی‌متر دارد و پدیده «بیابان» و «بیابان‌زایی» عارضه‌ای محسوب می‌شود که محیط زیست و حیات اقتصادی ما را شدیداً تحت تأثیر و مورد تهدید قرار می‌دهد (طاوسی، ۱۳۷۹). بنابراین با توجه به روند افزایشی گرما در سطح جهان و وقوع خشکسالی‌های پیاپی در کشور این سؤال در ذهن مبتادر می‌شود که آیا این گرماش جهانی و وقوع این خشکسالی‌ها در وسعت و گسترش اقلیم‌های خشک و نیمه‌خشک ایران تأثیری داشته است؟ در این تحقیق قصد بر این است که با استفاده از شاخص یونیپ^۱ (UNEP) روند



شکل ۱ - نقشه موقعیت و پراکنش ایستگاه‌های مورد مطالعه

می باشند. این کار برای تمام ۱۲ ماه سال انجام می گردد.
در صورتی که متوسط دما در یک ماه صفر یا منفی باشد
برای آن ماه صفر در نظر گرفته می شود. *im*
نمایه حرارتی سال (I) از جمع نمایه های حرارتی
ماهانه طی سال بدست می آید.

$$I = \sum_{n=1}^{12} im$$

با داشتن نمایه حرارتی سالانه (I) ضریب a از معادله زیر بدست می‌آید.

$$a = (6.27 \times 10^{-7})I^3 - (7.71 \times 10^{-5})I^2 + (1.792 \times 10^{-2})I + 0.492$$

برای هریک از ماههای سال تبخیر و تعرق پتانسیل (PET) بر حسب میلی متر از فرمول زیر محاسبه می شود.

$$PET = 16 \left(\frac{10T_m}{I} \right)^a$$

شاخص یونیپ (UNEP) به شکل زیر محاسبه می‌شود:

$$R = \frac{P}{ETP}$$

که R شاخص عددی یونیپ (UNEP)، P میانگین بارش سالانه به میلی‌متر و ETP میزان تبخیر و تعرق پتانسیل به میلی‌متر می‌باشد. لازم به تذکر است که محاسبه میزان تبخیر و تعرق در این رابطه با استفاده از شاخص تورنت وایت صورت می‌گیرد. به‌طوری‌که در روش تورنت وایت تبخیر و تعرق پتانسیل برای هریک از ماههای سال محاسبه می‌شود. اساس این روش دمای متوسط ماهانه می‌باشد که به صورت زیر عمل می‌شود: ابتدا نمایه حرارتی (im) برای هریک از ماههای سال از معادله زیر محاسبه می‌شود.

$$im = \left(\frac{T_m}{5} \right)^{1.51}$$

در این معادله im نمایه حرارتی هر ماه و T_m متوسط دمای هر ماه به درجه سانتی گراد در ماه مورد نظر

محاسبه و در جدولهای خاصی تنظیم شده‌اند اصلاح گردد (علیزاده، ۱۳۸۳).

$$PET = 16N_m \left(\frac{10T_m}{I} \right)^a$$

در نهایت براساس این شاخص، مناطق خشک، نیمه‌خشک و ... براساس جدول زیر تقسیم‌بندی می‌شوند.

محاسبه (PET) با استفاده از معادله فوق برای هر یک از ماهها با این فرض بوده که هر ماه ۳۰ روز و هر روز ۱۲ ساعت روشنایی داشته باشد، حال آن که تعداد روزهای هر ماه و تعداد ساعت‌های روشنایی در ماه‌های مختلف سال متفاوت است. بنابراین لازم است PET با اعمال ضریب N_m که مقادیر آن برای ماه‌های مختلف

جدول ۱- طبقه‌بندی مناطق خشک براساس شاخص خشکی UNEP

مناطق اقلیمی	شاخص خشکی UNEP	کلاس خطر بیابان‌زایی
فرات‌خشک	$R < 0.05$	بیابان واقعی
خشک	$0.05 < R < 0.2$	بسیار شدید
نیمه‌خشک	$0.2 < R < 0.5$	شدید
خشک نیمه‌مرطوب	$0.5 < R < 0.65$	متوسط
نیمه‌مرطوب	$0.65 < R < 0.75$	کم
مرطوب و بسیار مرطوب	$0.75 < R$	عدم خطر بیابان‌زایی

گردید و در نهایت با منهایکردن نقشه‌ها از یکدیگر تغییرات رخ داده در گسترش مکانی اقلیم‌های خشک و نیمه‌خشک ایران مورد بررسی و مطالعه قرار گرفت.

با توجه به توضیحات بالا و آشنا شدن با شاخص مورد مطالعه، اولین گام جهت رسیدن به هدف تحقیق، تقسیم دوره ۳۰ ساله مورد مطالعه به سه زیر دوره ۱۰ ساله (۱۹۷۶-۱۹۸۵)، (۱۹۸۶-۱۹۹۵) و (۲۰۰۵-۲۰۱۶) بود.

نتایج

همان‌طور که در قسمت روش تحقیق نیز بدان اشاره شد دوره ۳۰ ساله مورد مطالعه، به سه زیر دوره ۱۰ ساله تقسیم گردید. سپس برای هر زیر دوره با استفاده از شاخص مورد نظر، نقشه‌های پهنه‌بندی آنها تهیه گردید. نتایج حاصل از این پهنه‌بندی در شکل‌های ۲، ۳ و ۴ قابل مشاهده است.

در گام دوم برای هر دوره به طور جداگانه میانگین بارش و تبخیر و تعرق پتانسل آنها براساس روابط مورد اشاره محاسبه و براساس آنها شاخص خشکی UNEP برای هر دوره و برای هر ۴۵ ایستگاه محاسبه گردید (جدول ۲). لازم به تذکر است که تمام محاسبات بالا در محیط نرم‌افزاری EXCEL برنامه‌نویسی و محاسبه شده است.

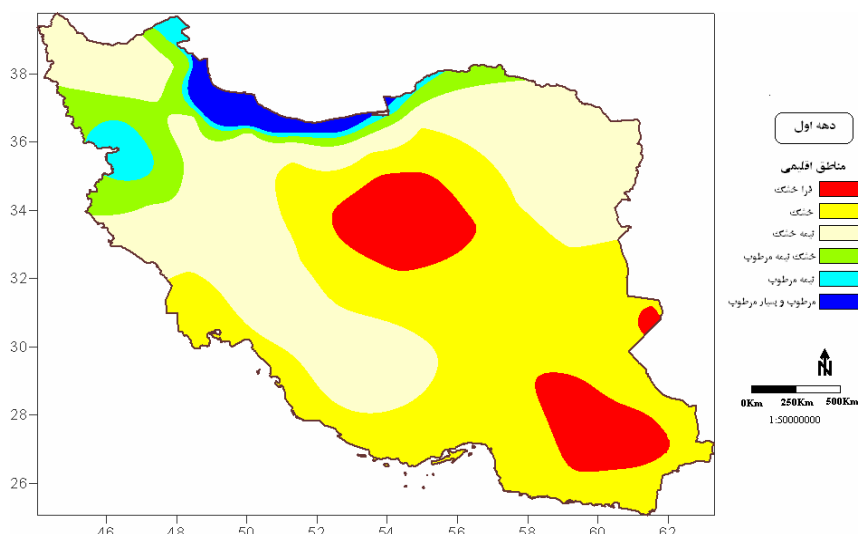
در گام سوم برای هر سه دوره، در محیط نرم‌افزاری SURFER و با استفاده از روش زمین‌آمار کریجینگ نقشه‌های پهنه‌بندی براساس شاخص مورد مطالعه تهیه

جدول ۲ - بارش، تبخیر و تعرق و شاخص یونیپ محاسبه شده برای ایستگاه‌های مورد مطالعه

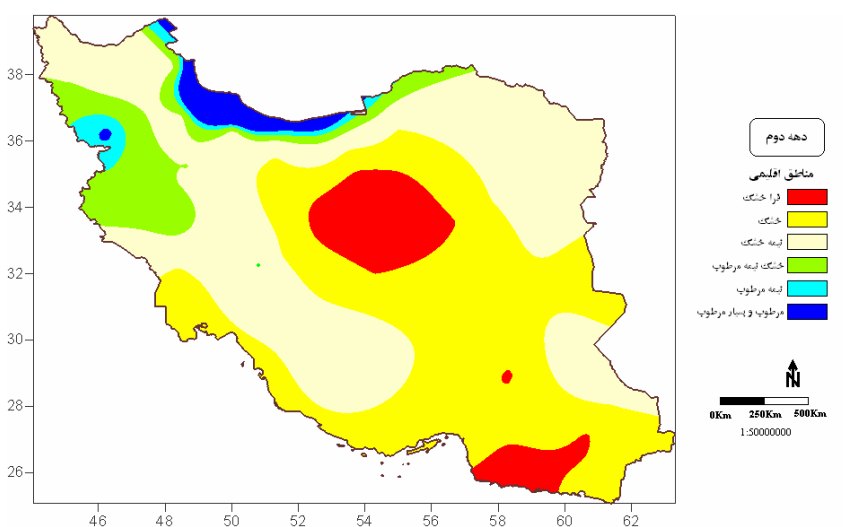
ردیف	ایستگاه	بارش دهه اول به میلیمتر	تبخیر و تعرق بارش دهه سوم به میلیمتر	شاخص تبخیر و تعرق دهه دوم به میلیمتر	بارش دهه دوم به میلیمتر	شاخص تبخیر و تعرق دهه دوم به میلیمتر	بارش دهه اول به میلیمتر	تبخیر و تعرق بارش دهه اول به میلیمتر	ایستگاه	ردیف
۱	آبادان	۱۶۴/۱	۲۱۹۷/۵	۰/۰۷۴	۱۷۴/۶	۰/۰۷۳	۲۳۹۸	۰/۰۷۳	۲۹۲۳.۱	-۰/۰۵۸
۲	اهواز	۲۳۸/۶	۲۳۰.۹/۹	۰/۱۰۳	۲۳۷/۱	۰/۰۹۶	۲۴۰۶/۷	۰/۰۷۳	۲۹۸۸.۲	-۰/۰۸۳
۳	انزلی	۱۸۸۷/۳	۱۸۸۷/۳	۰/۱۹۶	۲/۱۹۶	۰/۹۸۹	۸۴۱/۲	۱/۹۸۹	۸۷۹.۸	۱/۹۹۹
۴	اراک	۳۴۹/۷	۳۴۹/۷	۰/۴۲۲	۸۲۷/۳	۰/۳۹۳	۷۸۸۹/۷	۰/۰۷۶	۸۳۶.۲	-۰/۳۶۸
۵	اردبیل	۳۴۳/۹	۳۴۳/۹	۰/۰۴۶	۶۲۸/۸	۰/۴۸۱	۵۹۰/۸	۰/۰۷۳	۶۳۱.۰	-۰/۴۰۷
۶	پاییز	۹۲۶/۴	۹۲۶/۴	۰/۱۰۸	۸۹۲/۴	۰/۰۲۹	۹۴۰/۳	۱/۰۲۹	۹۶۲/۷	۱/۰۱۷
۷	یم	۶۳/۱	۱۰۸۴/۹	۰/۰۳۹	۶۳/۹	۰/۰۳۸	۱۶۰۹/۸	۰/۰۷۶	۱۸۱۴.۶	-۰/۰۴۸
۸	بندرعباس	۲۴۰/۹	۲۴۰/۹	۰/۱۰۶	۲۲۵۶/۷	۰/۰۹۱	۲۲۴۵/۷	۰/۰۷۶	۲۴۷۲.۳	-۰/۰۷۹
۹	پندرلشکر	۱۷۲/۷	۱۷۲/۷	۰/۰۸۰	۲۱۵۷/۸	۰/۰۷۸	۲۱۳۹/۸	۰/۰۷۶	۲۴۸۰.۸	-۰/۰۴۸
۱۰	پیر جند	۱۷۷/۴	۱۷۷/۴	۰/۱۹۸	۸۹۴/۴	۰/۲۱۹	۸۶۰/۹	۰/۰۹۹	۹۱۶.۱	-۰/۱۶۴
۱۱	بوشهر	۲۳۴/۳	۲۳۴/۳	۰/۱۳۲	۱۷۷۴/۱	۰/۱۲۷	۱۸۷۶/۰	۰/۰۷۶	۱۹۹۰.۷	-۰/۱۸۰
۱۲	چابهار	۱۲۱/۸	۱۲۱/۸	۰/۰۶۲	۱۹۶۰/۶	۰/۰۶۹	۱۷۴۹/۵	۰/۰۷۶	۱۸۴۳.۰	-۰/۰۵۷
۱۳	درزفول	۳۹۷/۲	۳۹۷/۲	۰/۲۱۸	۱۸۲۰/۶	۰/۰۲۴	۱۹۱۳.۱	۰/۰۷۶	۲۱۸۷.۳	-۰/۰۴۰
۱۴	دوشان تپه	۲۷۵/۶	۲۷۵/۶	۰/۰۴۵	۱۰۴۴/۰	۰/۰۴۶	۲۰۹/۱	۰/۰۷۶	۱۱۱۹.۶	-۰/۰۲۷
۱۵	اصفهان	۱۲۹	۱۲۹	۰/۱۴۱	۹۱۰/۷	۰/۱۲۷	۹۳۶/۱	۰/۰۷۶	۹۴۲.۶	-۰/۱۳۹
۱۶	فسا	۳۲۶/۲	۳۲۶/۲	۰/۲۶۹	۱۲۰۸/۵	۰/۰۳۸	۳۱۸/۸	۰/۰۷۶	۱۰۸۹.۳	-۰/۰۲۸
۱۷	قرزوین	۳۳۸/۷	۳۳۸/۷	۰/۴۳۴	۷۷۸/۹	۰/۰۴۶	۷۸۹/۴	۰/۰۷۶	۸۲۷.۹	-۰/۰۷۹
۱۸	گرگان	۶۱۳/۱	۶۱۳/۱	۰/۶۳۵	۹۶۴/۸	۰/۰۵۶	۹۳۵	۰/۰۷۶	۹۹۲.۹	-۰/۰۰۷
۱۹	همدان فرودگاه	۳۱۷/۶	۳۱۷/۶	۰/۴۶۰	۶۸۹/۵	۰/۰۴۷	۶۸۷/۹	۰/۰۷۶	۷۲۳.۷	-۰/۰۴۰
۲۰	همدان نوژه	۳۱۴.۳	۳۱۴.۳	۰/۴۰۸	۶۸۴/۸	۰/۰۵۰	۶۹۱/۱	۰/۰۷۶	۷۱۰.۸	-۰/۰۴۴
۲۱	ایرانشهر	۱۲۳/۵	۱۲۳/۵	۰/۰۴۳	۲۸۷۷/۶	۰/۰۴۶	۲۷۰/۶/۱	۰/۰۷۶	۳۱۴۱.۳	-۰/۰۲۷
۲۲	کاشان	۱۳۵/۹	۱۳۵/۹	۰/۱۱۰	۱۲۲۳/۵	۰/۱۱۷	۱۱۰۹/۹	۰/۰۷۶	۱۲۲۲.۱	-۰/۱۱۹
۲۳	کرمان	۱۰۱/۱	۱۰۱/۱	۰/۱۸۱	۸۳۴/۶	۰/۱۷۷	۸۴۰/۱	۰/۰۷۶	۸۹۰.۰	-۰/۱۴۰
۲۴	کرماتشاه	۴۱۸/۵	۴۱۸/۵	۰/۰۱۸	۸۰۷/۳	۰/۰۵۰	۸۱۹/۸	۰/۰۷۶	۸۷۷.۳	-۰/۰۴۴
۲۵	خرم آباد	۴۳۳	۴۳۳	۰/۴۶۷	۹۴۶/۲	۰/۰۶۰	۸۸۴/۱	۰/۰۷۶	۹۶۶.۹	-۰/۰۷۴
۲۶	خوی	۳۳۲.۱	۳۳۲.۱	۰/۴۵۶	۷۷۷/۳	۰/۰۷۵	۷۲۶/۰	۰/۰۷۶	۷۷۱.۳	-۰/۰۳۱۸
۲۷	مشهد	۳۰۳/۶	۳۰۳/۶	۰/۳۸۲	۷۹۳/۹	۰/۰۲۹	۷۲۷/۶	۰/۰۷۶	۸۸۱.۷	-۰/۰۲۶۸
۲۸	زنگان	۳۱۷/۵	۳۱۷/۵	۰/۰۵۷	۷۰۰/۷	۰/۰۴۰	۶۶۲/۸	۰/۰۷۶	۶۹۰.۳	-۰/۰۳۸۸
۲۹	زاهدان	۷۰/۷	۷۰/۷	۰/۰۶۸	۱۱۰۶/۳	۰/۰۵۰	۱۰۳۵/۸	۰/۰۷۶	۱۰۷۰.۱	-۰/۰۴۲
۳۰	زابل	۶۰	۶۰	۰/۰۳۸	۱۰۵۷	۰/۰۴۶	۱۴۹۶/۲	۰/۰۷۶	۱۶۹۰.۳	-۰/۰۳۰
۳۱	یزد	۷۷/۶	۷۷/۶	۰/۰۶۸	۱۱۳۴/۱	۰/۰۵۰	۱۱۴۴	۰/۰۷۶	۱۲۶۱.۲	-۰/۰۴۲
۳۲	طبس	۹۳.۰	۹۳.۰	۰/۰۶۲	۱۰۵۴/۸	۰/۰۵۶	۹۲/۷	۰/۰۷۶	۱۸۰۰.۰	-۰/۰۴۸
۳۳	تبریز	۲۹۶/۳	۲۹۶/۳	۰/۳۸۴	۷۷۱/۱	۰/۰۴۳	۷۷۸/۲	۰/۰۷۶	۸۲۲.۲	-۰/۰۲۸۶
۳۴	تهران	۲۴۹/۴	۲۴۹/۴	۰/۲۴۲	۱۰۰۸/۱۵	۰/۰۴۰	۱۰۴۱/۶	۰/۰۷۶	۱۱۰۸.۱	-۰/۰۲۲۲
۳۵	تربت حیدریه	۳۰۷/۹	۳۰۷/۹	۰/۳۶۱	۸۰۲/۶۹	۰/۰۴۸	۷۸۹/۸	۰/۰۷۶	۸۱۸.۱	-۰/۰۳۴۴
۳۶	شیراز	۳۲۳/۹	۳۲۳/۹	۰/۳۳۲	۹۷۴	۰/۰۷۶	۱۰۱۷/۱	۰/۰۷۶	۱۰۷۱.۰	-۰/۰۳۲۰
۳۷	شهرورد	۱۶۲/۹	۱۶۲/۹	۰/۱۹۵	۸۳۳/۴۷	۰/۰۷۶	۱۸۱۶/۴	۰/۰۷۶	۸۸۷.۷	-۰/۰۱۶۲
۳۸	شهرکرد	۳۳۱	۳۳۱	۰/۴۶۰	۷۱۹/۰۲	۰/۰۵۰	۶۷۱/۴	۰/۰۷۶	۶۹۱.۰	-۰/۰۴۷۰
۳۹	سمنان	۱۰۱.۲	۱۰۱.۲	۰/۱۳۸	۱۰۰۳/۰۲	۰/۰۷۶	۱۰۸۲/۲	۰/۰۷۶	۱۱۰۳.۰	-۰/۰۱۳۰
۴۰	سنندج	۵۰۹/۸	۵۰۹/۸	۰/۷۳۵	۷۶۱/۴	۰/۰۷۳	۴۶۱/۱	۰/۰۷۶	۸۲۲.۶	-۰/۰۴۴۶
۴۱	سنگز	۵۴۳/۱	۵۴۳/۱	۰/۷۴۵	۷۲۸/۴	۰/۰۷۶	۶۷۰/۳	۰/۰۷۶	۶۷۹.۳	-۰/۰۶۲۲
۴۲	سبزوار	۱۳۷۹.۶	۱۳۷۹.۶	۰/۲۰۴	۱۰۰۱/۳۴	۰/۰۷۰	۲۰۷/۵	۰/۰۷۶	۱۱۱۷.۷	-۰/۰۱۷۳
۴۳	رشت	۱۳۷۹.۶	۱۳۷۹.۶	۰/۶۲۸	۸۴۷	۰/۰۷۶	۸۰۶/۱	۰/۰۷۶	۸۷۰.۴	-۰/۰۱۰۰
۴۴	رامسر	۱۲۱۰/۱	۱۲۱۰/۱	۰/۴۶۰	۸۳۲/۲۳	۰/۰۷۰	۱۲۳۱/۸	۰/۰۷۶	۸۷۳.۸	-۰/۰۳۷۴
۴۵	ارومیه	۳۳۸/۶	۳۳۸/۶	۰/۰۵۰	۶۷۳/۴۲	۰/۰۷۰	۶۷۸/۰	۰/۰۷۶	۷۱۴.۱	-۰/۰۳۰۰

جهت تجزیه و تحلیل دقیق‌تر گسترش اقلیم‌های خشک و نیمه‌خشک در گستره ایران زمین، اقدام به منهاکردن نقشه‌ها از یکدیگر گردید. به این صورت که ابتدا نقشه دهه دوم از نقشه دهه اول و همچنین نقشه دهه سوم از نقشه دهه دوم منها شدند که نتایج آن به ترتیب در شکل‌های ۵ و ۶ آورده شده است.

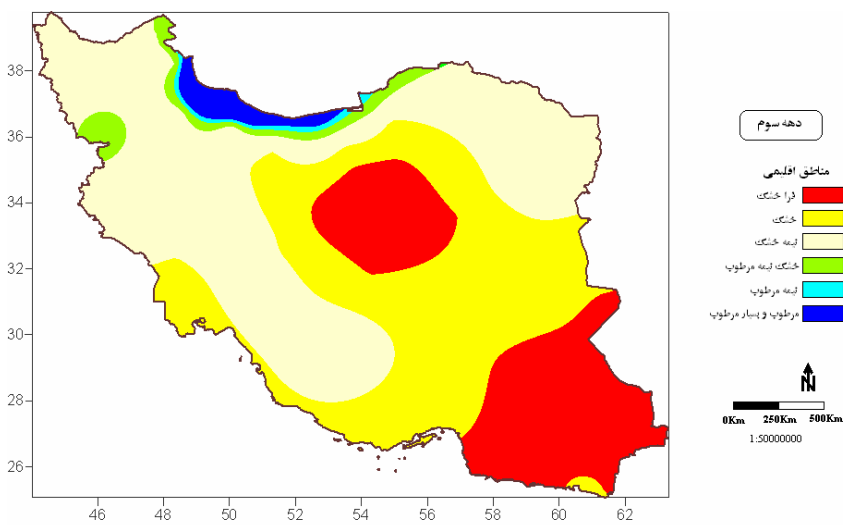
بنابراین آنچه از مقایسه نقشه‌های پهنه‌بندی سه دوره مورد مطالعه به خوبی نمایان می‌شود گسترش مکانی اقلیم نیمه‌خشک در غرب و شمال‌غرب ایران، گسترش اقلیم خشک در جهت عرض‌های جغرافیایی بالاتر در استان‌های خراسان جنوبی و رضوی و همچنین گسترش اقلیم فراخشک در جنوب‌شرق در دهه سوم می‌باشد. اما



شکل ۲- نقشه پهنه‌بندی اقلیم‌های مختلف ایران با استفاده از شاخص یونیپ برای دهه (۱۹۷۶-۱۹۸۵)



شکل ۳- نقشه پهنه‌بندی اقلیم‌های مختلف ایران با استفاده از شاخص یونیپ برای دهه (۱۹۸۶-۱۹۹۵)

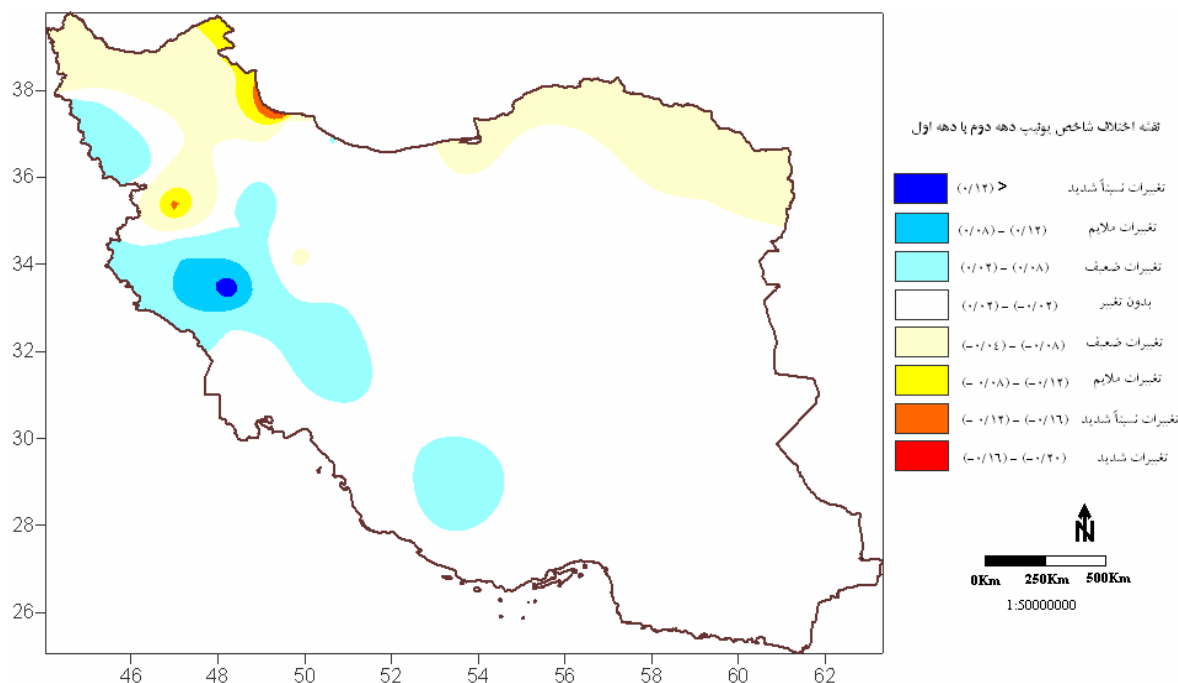


شکل ۴- نقشه پهنه‌بندی اقلیم‌های مختلف ایران با استفاده از شاخص یونیپ برای دهه (۱۹۹۶-۲۰۰۵)

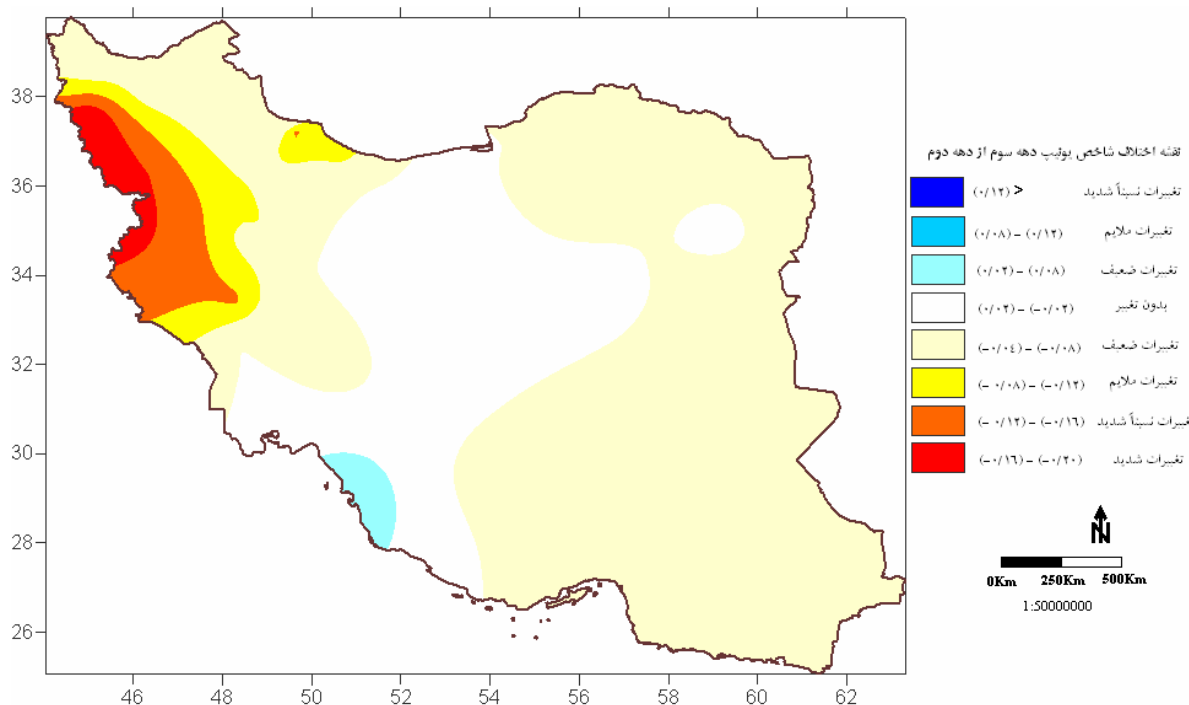
يعني اينكه با كوچكترین تغيير در ميزان شاخص یونیپ به سمت افرايش و يا کاهش، اقلیم اين منطقه دگرگون می‌شود. اين مطلب را می‌توان با مقایسه نقشه‌های ۵، ۲ و ۳ به راحتی استنباط نمود. با دقت در نقشه ۵ ملاحظه می‌شود که جنوب شرق ایران براساس طبقه‌بندی انجام شده در طبقه بدون تغيير (۰/۰۲-۰/۰۲) واقع شده، اما وقتی دو نقشه ۲ و ۳ را به صورت بصري نگاه می‌کنیم شاهد تغييراتي بين اين دو دهه هستيم. به اين صورت که در دهه دوم گسترش مکاني اقلیم فراخشك بسيار محدود شده است و يك جابجايی مکاني از بلوچستان مرکزي به سمت بلوچستان جنوبی داشته است. در شمال استان نيز شاهد ناپذيد شدن هسته فراخشك بر روی سیستان و گسترش اقلیم نيمه خشك به جاي اقلیم خشك در شمال بلوچستان بوده‌ایم. اين شرایط حاکي از مرطوب‌تر بودن دوره دوم از دوره اول می‌باشد.

براساس نقشه ۵ مشاهده می‌شود که بيشتر گستره ایران در حد فاصل دو دهه اول و دوم شاهد تغييراتي آنچنانی و ملموس در مقدار شاخص زیست اقلیمي یونیپ نبوده است، بلکه در بعضی قسمتها شاهد افزایش نيز بوده است. به طوری که غرب و جنوب‌غرب شاهد بيشترین افزایش و شمال‌شرق و شمال‌غرب شاهد کاهش در اين شاخص بوده است. به نحوی که اثرات اين افزایش و کاهش در شاخص یونیپ را به خوبی می‌توان در شکل ۳ مشاهده نمود؛ به صورتی که گسترش اقلیم نيمه مرطوب در غرب و همچين گسترش و تشدید اقلیم نيمه خشك در شمال‌شرق ایران نتيجه اين تغيير و تحولات می‌باشد. اما جنوب‌شرق ایران در حد فاصل اين دو دهه وضعیت متفاوت‌تری از ديگر نقاط ایران نشان می‌دهد و آن مرزی بودن شرایط اقلیمي اين قسمت از ایران بين دو اقلیم خشك و فراخشك می‌باشد.

مقایسه گسترش مکانی اقلیم‌های خشک و نیمه‌خشک...



نقشه ۵ - نقشه پهنه‌بندی حاصل از منهاکردن نقشه دهه دوم از دهه اول



نقشه ۶ - نقشه پهنه‌بندی حاصل از منهاکردن نقشه دهه سوم از دهه دوم

فراخشک به جای اقلیم خشک در جنوب‌شرق ایران به وضوح قابل مشاهده است که این خود می‌تواند باعث نگرانیهایی از لحاظ زیست‌محیطی به خصوص گسترش بیابان‌زاوی گردد. چون براساس طبقه‌بندی یونیپ در این دهه، غرب و شمال‌غرب ایران از پتانسیل بیابان‌زاوی کم و متوسط به سمت پتانسیل بیابان‌زاوی شدید در حرکت است که اگر این شرایط اقلیمی با دیگر عوامل تشدید‌کننده بیابان‌زاوی همچون چرای بی‌رویه، جنگل‌تراشی، افت منابع آب زیرزمینی، فرسایش آبی و ... همراه باشد می‌تواند در تشدید تخریب سرزمین این منطقه مؤثر باشد.

بنابراین در جنوب‌شرق ایران هم شاهد گسترش اقلیم فراخشک در جهت مداری و نصف‌النهاری بوده‌ایم. این نوع اقلیم که در طبقه‌بندی یونیپ جزء بیابانهای واقعی از آن نام برده می‌شود خالی از گونه‌های رستنی پایدار بوده و بارندگی سالانه آن بسیار اندک و بندرت به ۱۰۰ میلی‌متر می‌رسد. گسترش اقلیم فراخشک، خشک و نیمه‌خشک در شرق و جنوب‌شرق به دلیل خشکسالی‌های رخ داده در دهه سوم و گسترش اقلیم نیمه‌خشک در غرب و شمال‌غرب ایران علاوه بر خشکسالی فرآگیر، تغییرات اقلیمی روی داده در برخی عاملهای اقلیمی بوده است.

منابع مورد استفاده

- ابراهیمی، ح.، علیزاده، ا. و جوانمرد، س.، ۱۳۸۴. بررسی وجود دما در دشت مشهد به عنوان نمایه تغییر اقلیم در منطقه. *فصلنامه تحقیقات جغرافیائی*، سال ۲۰، شماره پیاپی ۷۹: ۳۲۶-۳۱۴.
- باباپور صابر، ع.ا.، ۱۳۸۲. مطالعه تغییرات اقلیم حرارتی شمال‌غرب ایران و پیش‌بینی اوضاع آتی. رساله دکترای اقلیم‌شناسی، دانشکده علوم انسانی و اجتماعی، دانشگاه تبریز. ۱۵۵ صفحه.
- جعفری، م.، ۱۳۸۷. تحقیق و تحلیل عوامل تغییر اقلیم طی پنجاه سال گذشته در جنگلهای منطقه خزری. *فصلنامه تحقیقات جنگل و صنوبر ایران*. سال ۱۶، شماره پیاپی ۳۲: ۳۲۶-۳۱۴.

اما دهه سوم، دهه‌ای متفاوت از دو دهه قبلی می‌باشد. براساس نقشه ۶ که حاصل از منهاکردن نقشه دهه سوم از دهه دوم می‌باشد، مشاهده می‌گردد که بیشتر گستره ایران به استثناء قسمت‌های غربی ایران مرکزی و بخش‌هایی از جنوب‌غربی، شاهد کاهش در شاخص زیست‌اقلیمی یونیپ بوده است، یعنی اقلیم ایران در این دهه تمایل شدیدی به سمت خشک شدن اقلیمی داشته است. اما شدیدترین تغییرات رخ داده در این دهه را در غرب و شمال‌غرب ایران شاهد هستیم؛ جایی که گسترش مکانی اقلیم نیمه‌خشک باعث عقب‌نشینی اقلیم‌های مرطوب و نیمه‌مرطوب شده است.

جنوب‌شرق به اضافه شمال استان سیستان و بلوچستان، قسمت‌های دیگری از سرزمین ایران هستند که در این دهه شاهد تغییراتی در اقلیم خود بوده‌اند، به طوری‌که اقلیم فراخشک در این دهه به بیشترین گسترش مکانی خود در جنوب و شمال استان سیستان و بلوچستان رسیده است که نتایج این تغییر و تحولات به وضوح در شکل ۴ قابل مشاهده است.

بحث

براساس نقشه‌های تهیه شده برای سه زیر دوره مورد مطالعه، مشاهده شد که بیشترین گسترش مکانی اقلیم‌های خشک و نیمه‌خشک در دهه سوم روی داده است. از لحاظ مکانی نیز شدیدترین تغییرات در غرب و شمال‌غرب ایران و بعد در جنوب‌شرق ایران بوده است، اما شمال استان خراسان شمالی، جنوب استان خراسان رضوی و شمال استان خراسان جنوبی نیز باشد و گسترش کمتری شاهد گسترش اقلیم نیمه‌خشک و خشک بوده‌اند. اما در غرب و شمال‌غرب ایران جایگزین شدن اقلیم نیمه‌خشک به جای اقلیم خشک نیمه‌مرطوب و نیمه‌مرطوب و همچنین جایگزین شدن اقلیم

- مولانی نیکو، م.، ۱۳۸۲. تغییر اقلیم جنوب-جنوب غرب ایران از دیدگاه مشاهدات بارش. پایان‌نامه کارشناسی ارشد آب، دانشکده کشاورزی، دانشگاه شیراز.
- نظام السادات، س.م.ج، سامانی، ن، باری، ا. و مولایی نیکو، م.، ۱۳۸۵. نیروی مؤثر پدیده الینینو- نوسانات جنوبی (ENSO) بر ایجاد تغییر اقلیم در ایران با استفاده از تحلیل داده‌های بارش. مجله ایرانی علوم و تکنولوژی، شماره ۳۰: ۵۱۵-۵۵۵.
- واثقی، ا. و اسماعیلی، ع، ۱۳۸۷. بررسی اثر اقتصادی تغییر اقلیم بر بخش کشاورزی ایران، روش ریکاردین (مطالعه موردی: گندم). علوم و فنون کشاورزی و منابع طبیعی، سال ۱۲، شماره ۶۹۶-۶۸۵.
- Alivi, S.H., 1994. Climatic changes, desertification and the Republic of Sudan. *Geojournal*, Vol. 32, pp. 393-399.
- Folland, C.K., Palmer, T. N. and Parker, D. E., 1986. Sahel rainfall and worldwide sea temperature, 1901-85. *Nature*, 320, pp. 602-607.
- Folland, C.K., Owen, J., Ward, M.N. and Colman, A., 1991. Prediction of seasonal rainfall in the Sahel region using empirical and dynamic methods. *Journal of Forecasting*, 10, pp. 21-56.
- Giannini, A., Saravanan, R. and Chang, P., 2003. Ocean forcing of Sahel rainfall on interannual to interdecadal time scales. *Science*, 302, pp. 1027-1030.
- Glantz, M.H., 1987. Drought and economic development in sub-Saharan Africa. In: M. H. Glantz, Editor, *Drought and Hunger in Africa: Denying Famine a future*, Cambridge University Press, Cambridge, pp. 37-58.
- Gunin, P.D., 1992. Diagnostic of desertification processes in arid ecosystems of central Asia. *Problems of desert development*, Russia, No. 5, pp. 15-23.
- Hulme, M., 2001. Climatic perspectives on Sahelian desiccation: 1973-1998. *Global Environmental Change*, 11, pp. 19-29.
- Hulme, M. and Kelly, M., 1993. Exploring the links between desertification and climate change. *Environment*, 35, pp. 4-11 and 39-45.
- Iddrisu, A. and Atchia, M., 1995. Land degradation and desertification in Ghana. (Book chapter). *Environmental management issues and solutions*. Ghana.
- Nicholson, S., 2001. Climatic and environmental change in Africa during the last two centuries. *Climate Research*, 17, pp. 123-144.
- Vinogradov, B.V., 1992. Long – term dynamics of reflecting power of ecosystems in desertification. *Doklady – Biological Sciences*, Russia, Vol. 324, pp. 201-204.
- خورشید دوست، ع.م. و قویدل رحیمی، ی.، ۱۳۸۵. شبیه‌سازی آثار دو برابر شدن دیاکسیدکربن جو بر تغییر اقلیم تبریز با استفاده از «مدل آزمایشگاه پویایی سیالات ژئوفیزیکی». *فصلنامه محیط‌شناسی*، سال ۲۲، شماره ۳۹: ۱۰-۱.
- درنینگ، آ.ت. و هالی، ب.ب، ۱۹۹۲. اصلاح اقتصادی دام و طیور. *ترجمه: حمید سیادت*، (در مجموعه وضعیت جهان - مسائل محیط زیست)، تهران: نشر آرین، ۱۳۷۲: ۱۱۱-۱۳۸.
- دلاور، م، مرید، س. و شفیعی فر، م، ۱۳۸۷. ارزیابی ریسک تراز دریاچه ارومیه و تأثیر تغییر اقلیم بر آن. *علوم کشاورزی ایران*، شماره ۳۹: ۳۷۹-۳۸۸.
- سلیمان، م، ۱۳۸۱. بررسی اثر تغییر اقلیم بر تبخیر و تعرق (مطالعه موردی: حوضه امامه). پایان‌نامه کارشناسی ارشد مهندسی آب، دانشکده مهندسی عمران، دانشگاه علم و صنعت.
- طاوosi، ت، ۱۳۷۹. تحلیل علل هیدرولیماتولوژیکی بیان‌زائی (مطالعه موردی: حاشیه چاله گاوخونی). رساله دکتری اقلیم‌شناسی، دانشکده علوم انسانی، دانشگاه تربیت مدرس. ۳۰۵ صفحه.
- عزیزی، ق. و روشنی، م، ۱۳۸۷. مطالعه تغییر اقلیم در سواحل جنوبی دریای خزر به روش من-کندال. *پژوهش‌های جغرافیایی*، شماره ۶۴، تابستان: ۲۸-۱۳.
- علیزاده، ا، ۱۳۸۳. اصول هیدرولوژی کاربردی. چاپ هفدهم، مشهد، انتشارات دانشگاه امام رضا.
- علیزاده، ا. و کمالی، غ، ۱۳۸۱. اثرات تغییر اقلیم بر افزایش مصرف آب کشاورزی در دشت مشهد. *فصلنامه تحقیقات جغرافیائی*، سال هفدهم، شماره پیاپی ۶۵-۶۶، تابستان و پائیز: ۲۰۱-۱۸۹.
- قربانی، م.ح. و سلطانی، ا، ۱۳۸۱. بررسی تغییر اقلیم گرگان طی چهل سال گذشته. *مجله علوم کشاورزی و منابع طبیعی*، شماره ۹-۱۴: ۹.
- گرنجر، آ، ۱۹۸۲. کویرزایی، چگونه مردم کویر می‌سازند، چگونه می‌توانند آن را متوقف سازند و چرا این کار را نمی‌کنند؟ *ترجمه عبدالحمید ثامنی*، انتشارات دانشگاه شیراز، ۱۳۷۴.
- مساح بوانی، ع، ۱۳۸۵. ارزیابی ریسک تغییر اقلیم و اثر آن بر منابع آب (مطالعه موردی: حوضه زاینده رود اصفهان). رساله دکترای مهندسی آب، دانشکده کشاورزی، دانشگاه تربیت مدرس.

Comparison of spatial spreading of arid and semi-arid climates in Iran during 1976-2005

Tavosi, T.¹, Mahmoudi, P.^{2*} and Moghadam, F.S.³

1-Assistant Professor, Department of Physical Geography, Geography and Regional Planning Faculty, University of Sistan and Baluchestan, Zahedan, Iran.

2*- Corresponding Author, Ph.D. Student of Climatology, Geography and Regional Planning Faculty, University of Sistan and Baluchestan., Zahedan, Iran, Email: Paymanasia@yahoo.com

3-Research Expert, Centre of Applied Meteorological Researches of Sistan and Baluchestan, Zahedan, Iran.

Received:29.08.2009

Accepted:01.02.2010

Abstract

On the basis of definition of United Nation Convention on Combating Desertification: "desertification is land degradation on arid, semi-arid and sub-humid arid regions by reason of climate change and human activities". Also on the basis of this Convention, arid, semi-arid and sub-humid arid regions are regions that quotient between precipitation with potential evapotranspiration is approximately 0.05 to 0.65. Annual temperature averages and total annual precipitation from 45 synoptic meteorological stations for a 30 years period (1976-2005) has been collected by the Meteorological Organization of Iran. In this paper for study of spatial spreading trend of arid and semi-arid climates of Iran of bioclimatic index of UNEP (United Nation Environment Programme) were used. Thirty years period divided to three subgroups: (1976-1985), (1986-1995) and (1996-2005). Then for each subgroup provided zoning maps and finally zoning maps were subtracted from each other. Results showed that: (1) The most spatial spread of arid and semi-arid climates observed in third decade and (2) The most severe changes of spatial climate observed in west and north-west and south-east of Iran, respectively.

Key words: desertification, arid climate, semi-arid climate- spatial changes- UNEP index